


# FTR - Flight Test Report

Dieser Prüfbericht darf ohne schriftliche Zustimmung der EAPR nicht, auch nicht auszugsweise, veröffentlicht werden.

Costruttore	 Skyman - Fly Market GmbH & Co.KG Am Schönabach 3 D-87637 Eisenberg	N° test	EAPR-GS-0425/15
		numero di serie	2k14-cr-co-23-sample-126
Modello	CrossCountry S 25	Luogo	Achensee Achensee



Rev. 2.3 - 26.11.2014  
 EAPR GmbH - Marktstr. 11  
 D-87730 Bad Grönenbach - Germany

Data del test	24.06.2015	Peso minimo al decollo	70 kg	Peso massimo al decollo	90 kg
Test pilot	Mike Küng			Mario Eder	
Selletta	EAPR-Testequipment			EAPR light	
Peso totale al decollo		70 kg		92 kg	

Classificazione	<b>B</b>
-----------------	----------



Criteri del test	Peso minimo al decollo	Valutazione	Peso massimo al decollo	Valutazione
<b>1. Gonfiaggio/decollo - 4.4.1</b>				
Comportamento nel gonfiaggio	Gonfiaggio dolce, facile e progressivo	A	Facilità di applicazione, una certa correzione di piloti richiesti	B
Tecnica specifica richiesta per il decollo	No	A	No	A
<b>2. Atterraggio - 4.4.2</b>				
Tecnica specifica richiesta per l'atterraggio	No	A	No	A
<b>3. Velocità nel volo rettilineo - 4.4.3</b>				
Velocità di trim superiore a 30 km/h	Si	A	Si	A
Velocità a freni completamente abbassati superiore a 10 km/h	Si	A	Si	A
Velocità minima	inferiore a 25 km/h	A	inferiore a 25 km/h	A
<b>4. Controllo del punto di stallo dichiarato dal costruttore - 4.4.4</b>				
Peso massimo in volo fino a 80 kg		-		-
Peso massimo in volo da 80 kg a 100 kg	Crescente > 60cm	A	Crescente > 60cm	A
Peso massimo in volo superiore a 100 kg		-		-
<b>5. Stabilità sull'asse di beccheggio in uscita dal volo accelerato - 4.4.5</b>				
Angolo di picchiata in uscita	Picchiata inferiore a 30°	A	Picchiata inferiore a 30°	A
Conseguente chiusura	No	A	No	A
<b>6. Stabilità sull'asse di beccheggio agendo sui comandi nel volo accelerato - 4.4.6</b>				
Conseguente chiusura	No	A	No	A
<b>7. Stabilità sull'asse di rollio e smorzamento - 4.4.7</b>				
Oscillazioni	Si autostabilizza	A	Si autostabilizza	A
<b>8. Stabilità in spirale neutra - 4.4.8</b>				
Tendenza a riprendere il normale assetto di volo	Uscita spontanea	A	Uscita spontanea	A
<b>9. Behaviour exiting a fully developed spiral dive - 4.4.9</b>				
Initial response of glider (first 180°)	No immediate reaction	B	No immediate reaction	B
Tendenza a riprendere il normale assetto di volo	Uscita spontanea	A	Uscita spontanea	A
Angolo di rotazione per ritrovare il normale assetto di volo	Compreso fra 720° e 1080°, uscita spontanea	B	Compreso fra 720° e 1080°, uscita spontanea	B
<b>10. Chiusura frontale simmetrica - 4.4.10</b>				
Folding lines used	No		No	
Ingresso	Arretra meno di 45°	A	Arretra meno di 45°	A
Uscita	Spontaneo in meno di 3 sec.	A	Spontaneo in meno di 3 sec.	A
Angolo di picchiata in uscita	30° - 60°   Mantiene la traiettoria di volo	B	30° - 60°   Rotazione inferiore a 90°	B
Conseguente cascata di configurazioni	No	A	No	A
Ingresso	Arretra meno di 45°	A	Arretra meno di 45°	A
Uscita	Spontaneo in meno di 3 sec.	A	Spontaneo in meno di 3 sec.	A
Angolo di picchiata in uscita	30° - 60°   Mantiene la traiettoria di volo	B	30° - 60°   Rotazione inferiore a 90°	B
Conseguente cascata di configurazioni	No	A	No	A
Ingresso	Arretra meno di 45°	A	Arretra meno di 45°	A
Uscita	Spontaneo fra 3 e 5 sec.	B	Spontaneo in meno di 3 sec.	A
Angolo di picchiata in uscita	30° - 60°   Mantiene la traiettoria di volo	B	30° - 60°   Rotazione inferiore a 90°	B
Conseguente cascata di configurazioni	No	A	No	A
<b>11. Uscita dallo stallo paracadutale - 4.4.11</b>				
Fase paracadutale raggiungibile	Si		Si	
Uscita	Spontaneo in meno di 3 sec.	A	Spontaneo in meno di 3 sec.	A
Angolo di picchiata in uscita	30° - 60°	B	30° - 60°	B
Cambio di direzione	Cambio di direzione inferiore a 45°	A	Cambio di direzione inferiore a 45°	A
Conseguente cascata di configurazioni	No	A	No	A

12. Uscita da uno stallo di B rilasciato molto lentamente - 4.4.12									
Uscita	Spontaneo in meno di 3 sec.		A	Spontaneo in meno di 3 sec.		A			
Consequente cascata di configurazioni	No		A	No		A			
13. Uscita da uno stallo simmetrico trattenuto (post stallo) - 4.4.13									
Angolo di picchiata in uscita	30° - 60°		B	30° - 60°		B			
Chiusura	Senza conseguente chiusura		A	Senza conseguente chiusura		A			
Consequente cascata di configurazioni	No		A	No		A			
Oscilla indietro	Inferiore a 45°		A	Inferiore a 45°		A			
Tensione delle linee	Tensione della maggior parte delle linee		A	Tensione della maggior parte delle linee		A			
14. Chiusura asimmetrica - 4.4.14									
Folding lines used	No			No					
Cambio di direzione prima della riapertura	Senza acceleratore, max. chiusura 50%	< 90°	Angolo di picchiata o di rollio compreso entro	15° - 45°	A	< 90°	Angolo di picchiata o di rollio compreso entro	15° - 45°	A
Comportamento nella riapertura		Riapertura spontanea		A	Riapertura spontanea		A		
Variazione totale della direzione		Inferiore a 360°		A	Inferiore a 360°		A		
Consequente chiusura della semiala opposta		No		A	No		A		
Consequente twist		No		A	No		A		
Consequente cascata di configurazioni	No		A	No		A			
Cambio di direzione prima della riapertura	Senza acceleratore, max. chiusura 75%	90° - 180°	Angolo di picchiata o di rollio compreso entro	15° - 45°	B	90° - 180°	Angolo di picchiata o di rollio compreso entro	15° - 45°	B
Comportamento nella riapertura		Riapertura spontanea		A	Riapertura spontanea		A		
Variazione totale della direzione		Inferiore a 360°		A	Inferiore a 360°		A		
Consequente chiusura della semiala opposta		No		A	No		A		
Consequente twist		No		A	No		A		
Consequente cascata di configurazioni	No		A	No		A			
Cambio di direzione prima della riapertura	Con acceleratore, max. chiusura 50%	90° - 180°	Angolo di picchiata o di rollio compreso entro	15° - 45°	B	< 90°	Angolo di picchiata o di rollio compreso entro	15° - 45°	A
Comportamento nella riapertura		Riapertura spontanea		A	Riapertura spontanea		A		
Variazione totale della direzione		Inferiore a 360°		A	Inferiore a 360°		A		
Consequente chiusura della semiala opposta		No		A	No		A		
Consequente twist		No		A	No		A		
Consequente cascata di configurazioni	No		A	No		A			
Cambio di direzione prima della riapertura	Con acceleratore, max. chiusura 75%	90° - 180°	Angolo di picchiata o di rollio compreso entro	15° - 45°	B	90° - 180°	Angolo di picchiata o di rollio compreso entro	15° - 45°	B
Comportamento nella riapertura		Riapertura spontanea		A	Riapertura spontanea		A		
Variazione totale della direzione		Inferiore a 360°		A	Inferiore a 360°		A		
Consequente chiusura della semiala opposta		No		A	No		A		
Consequente twist		No		A	No		A		
Consequente cascata di configurazioni	No		A	No		A			
15. Cambio di direzione in seguito a una chiusura asimmetrica trattenuta - 4.4.15									
Capacità a mantenere il volo rettilineo	Si		A	Si		A			
Rotazione di 180° in 10 sec. dalla parte opposta alla chiusura	Si		A	Si		A			
Differenza di trazione del comando fra la virata, lo stallo e la vite piatta negativa	Trazione simmetrica dei freni superiore al 50%		A	Trazione simmetrica dei freni superiore al 50%		A			
16. Tendenza al negativo a velocità di trim - 4.4.16									
Consequente vite piatta negativa	No		A	No		A			
17. Tendenza al negativo alle basse velocità - 4.4.17									
Consequente vite piatta negativa	No		A	No		A			
18. Uscita da una vite piatta negativa - 4.4.18									
Angolo di rotazione in vite piatta negativa dopo il rilascio del comando	Esce dalla spirale in meno di 90°		A	Esce dalla spirale in meno di 90°		A			
Consequente cascata di configurazioni	No		A	No		A			
19. Stallo di B - 4.4.19									
Cambiamento di direzione dopo il rilascio	Cambio di direzione inferiore a 45°		A	Cambio di direzione inferiore a 45°		A			
Comportamento prima del rilascio	Mantiene la stabilità senza alcuna deformazione del profilo		A	Mantiene la stabilità senza alcuna deformazione del profilo		A			
Uscita	Spontaneo in meno di 3 sec.		A	Spontaneo in meno di 3 sec.		A			
Angolo di picchiata in uscita	30° - 60°		A	0° - 30°		A			
Consequente cascata di configurazioni	No		A	No		A			
20. Grandi orecchie - 4.4.20									
Procedura d'ingresso	Tecnica standard		A	Sistemi di controllo dedicati		A			
Comportamento durante le grandi orecchie	Volo stabile		A	Volo stabile		A			
Uscita	Spontaneo fra 3 e 5 sec.		B	Uscita con l'intervento del pilota in meno di 3 sec.		B			
Angolo di picchiata in uscita	0° - 30°		A	0° bis 30°		A			
21. Grandi orecchie con acceleratore - 4.4.21									
Procedura d'ingresso	Tecnica standard		A	Sistemi di controllo dedicati		A			
Comportamento durante le grandi orecchie	Volo stabile		A	Volo stabile		A			
Uscita	Uscita con l'intervento del pilota in meno di 3 sec.		B	Uscita con l'intervento del pilota in meno di 3 sec.		B			
Angolo di picchiata in uscita	0° - 30°		A	0° bis 30°		A			
Comportamento durante le grandi orecchie trattenute dopo il rilascio dell'acceleratore	Volo stabile		A	Volo stabile		A			
23. Tecniche alternative di pilotaggio - 4.4.22									
Virata di 180° possibile in 20 sec.	Si		A	Si		A			
Consequente vite piatta negativa o stallo	No		A	No		A			
23. Altre procedure e/o configurazioni di volo descritte nel manuale d'uso - 4.4.23									
Esecuzione corretta della manovra / manuale			NA			NA			
Manovra adatta per i piloti principianti			NA			NA			
Consequente cascata di configurazioni			NA			NA			
24. Osservazioni del test pilot									